

京都府丹後地方および愛知県三河地方の 森林土壤の鉱物学的研究

服 部 共 生

TOMOO HATTORI : Mineralogical studies of forest soils in Kyoto
and Aichi prefecture

摘要 京都府丹後地方の酸性褐色森林土地帯と愛知県三河地方の赤黄色土地帯に分布する種々母材を異にする土壤の鉱物学的研究を行ない、次の結果を得た。

これらの2つの土壤生成作用に伴つて起こる粘土の風化生成過程には著しい相違は両者の間に認められず、現気候条件下で安定と思われる風化最終産物はハロイサイト、ギブサイトであつた。しかし現在土壤中にみられる粘土鉱物は母材および土壤生成作用を受けた時間により差異があることを明らかにした。

1. はしがき

近畿地方の森林地帯は既報¹⁾のようにごく一部にボドソール性土壤もみられるが、酸性褐色森林土と赤黄色土の2つの土壤地帯に分けられる。そして古生層頁岩を母材とする酸性褐色森林土および古生層頁岩、花崗斑岩を母材とする赤黄色土の鉱物学的研究から、前者はおもに14Å鉱物を粘土の主要構成鉱物とし、後者では母材と関係なくハロイサイトが主要構成鉱物となつていることが明らかにされた。また中部地方木曾国有林における酸性褐色森林土の粘土は母材が玄武岩や安山岩のような塩基性岩では14Å鉱物が、石英

斑岩のような酸性岩ではハロイサイトと14Å鉱物が主成分であるという²⁾。

このような母材や土壤型と土壤中の粘土鉱物との対応が一般的なものであるか興味ある問題と考え、種々母材を異にする京都府丹後地方の酸性褐色森林土地帯と愛知県三河地方の赤黄色土地帯の森林土壤について鉱物学的研究を行ない、粘土鉱物の生成過程と土壤生成作用および母材との関連を考察した。

2. 供試試料および実験方法

供試土壤の位置、母材、層位、その他2,3の性質を第1表に示す。これら試料採取位置の気象条件は第2

第1表 試料の採取地点、母材、および一、二の性質

試料番号	位 置	母 材	層 位	土 性	色 調 [*] (マンセル 土色帖)	pH (H ₂ O)	全 炭 素 %	備 考
1-1	竹野郡上宇川村小脇 標高 50m	安 山 岩	AB	埴 壤 土	7.5YR $\frac{3}{2}$	6.7	0.17	
-2	丹		C	同 上	10R $\frac{3}{4}$	6.1	0.10	
2	後 上夜野村 標高 450m	玄 武 岩	C	壤 土	10R $\frac{4}{8}$	5.0	0.10	
3	丹後町間人 標高 20m	同 上	火山灰層と母岩との中間層	埴 土	10YR $\frac{4}{6}$	5.4	0.52	
4	地 大江山不甲峠 標高500m	蛇 紋 岩	C	壤 土	2.5YR $\frac{4}{8}$	4.6	0.21	
5	吉美村 標高 150m	班レイ岩	A	同 上	7.5YR $\frac{2}{8}$	6.6	5.92	
6	方 伊根一泊間 標高 100m	凝 灰 岩	A	埴 壤 土	5.0YR $\frac{4}{4}$	4.7	2.86	

7	八名郡宇利峠下 標高 100m	斑レイ岩	A	壤 土	5.0YR $\frac{4}{4}$	4.4	1.67	桑 園
8-1	三 八名郡吉川峠 標高200m	蛇 紋 岩	0~14cm	砂 壤 土	10YR $\frac{3}{2}$	7.6	1.51	
-2			26~40cm	同 上	10YR $\frac{2}{2}$	7.7	1.49	
-3	河		50~70cm	埴 壤 土	7.5YR $\frac{2}{2}$	8.0	0.95	
-4			80~100cm	埴 土	2.5Y $\frac{2}{2}$	8.2	0.66	
-5	地		100~120cm	砂 壤 土	2.5Y $\frac{3}{4}$	8.3	0.46	
-6			100cm以下	—	—	8.4	0.19	基 岩
9	方 本郷村	標高 100m	花コウ岩	B	砂 壤 土	7.5YR $\frac{5}{6}$	5.6	0.33
10	鳳来山中復	標高 300m	流 紋 岩	A	同 上	10YR $\frac{2}{2}$	4.2	6.48

※湿潤状態における色調

第2表 供試土壤採取地方の気象条件

観測地点	年平均温 気 °C	年平均降水量 mm	年平均湿度 %
京都府大大野演習林	15.9°	1683	85
福知山	14.6	1697	
宮津	14.4	1984	
峰山	14.3	2204	
舞鶴			97
浜松	14.2	1513	77
豊橋	15.3	1755	72
丹後地方		三河地方	
N-S 係数	840~1800	106~189	
雨量係数	446~478	106~115	

表のようである。菅野³⁾により指摘されているが、このような気象条件下では丹後地方で褐色森林土が、三河地方で赤黄色土が生成されると思われる。しかし両地方の雨量係数や N-S 係数よりすると、褐色森林土出現の下限および、赤黄色土出現の上限の値を示し、標高、地形などの影響を受け、両地方とも、褐色森林土と赤黄色土の中間的性質をもつた土壤すなわち岩佐・近藤⁴⁾により報告された伊豆長者原の土壤と似た土壤の生成される可能性もある。

土壤番号(1-1~1-2, 5, 8-1~8-6)の試料は断面における層位の分化の不明瞭な点、pH が比較的高く中性ないしは微アルカリ性を呈していることおよび腐植含量の比較的すくないことなどよりみて土壤化の進んでいない土壤と思われる。

土壤より各フラクションの分別および各フラクション中の鉱物の同定は既報の方法¹⁾によつた。

3. 結果および論議

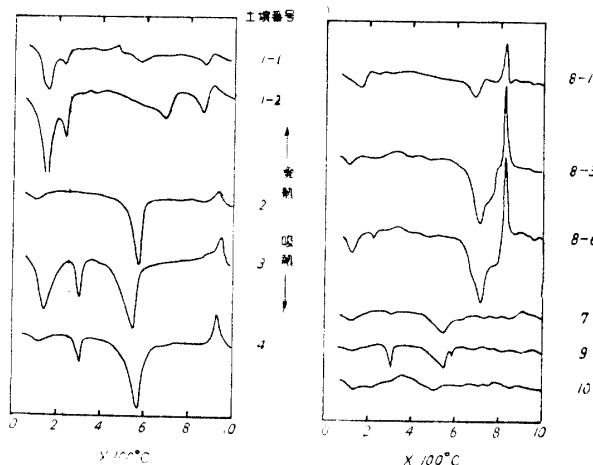
a. 細砂の鉱物組成：細砂の鉱物組成の特徴を第3表に総括して示す。また赤外線吸収スペクトル、示差熱曲線の代表例を第2,3図に示す。第3表からも明らかのように、丹後地方の土壤5,6を除いて、その細砂は岩石顕微鏡下の観察において单一粒子が一鉱物種として同定されるものは極めて少なく大部分が粘土塊として存在している。このことはX線回析結果、示差熱曲線、赤外線吸収スペクトルにも明らかに認められる。丹後地方の土壤5,6および三河地方の土壤中の細砂は前述と異なり、それぞれの母材を反映した種々の鉱物が同定され、粘土鉱物同定法により存在を推定される粘土鉱物の含量は極めて少ない。このような細砂中の粘土鉱物含量の相違は、母材の相違および土壤年齢によるものであろう。

細砂中に同定される粘土鉱物は安山岩土壤の表層(土壤1-1)でモンモリロナイトと少量の14Å鉱物、下層(土壤1-2)でモンモリロナイトであり、玄武岩土壤(土壤2,3)、蛇紋岩土壤(土壤4)でハロイサイトであつた。土壤5,6および三河地方の土壤では粘土鉱物含量が少なく粘土鉱物の種類を明らかにすることが出来なかつた。しかし丹後地方の斑レイ岩土壤(土壤5)で14Å鉱物が、凝灰岩土壤(土壤6)でハロイサイトが同定され、三河地方の斑レイ岩土壤(土壤7)、花崗岩土壤(土壤9)でハロイサイトが、蛇紋岩土壤では表層(土壤8-1)でクロライトとハロイサイトが下層(土壤8-5)で蛇紋石が同定された。

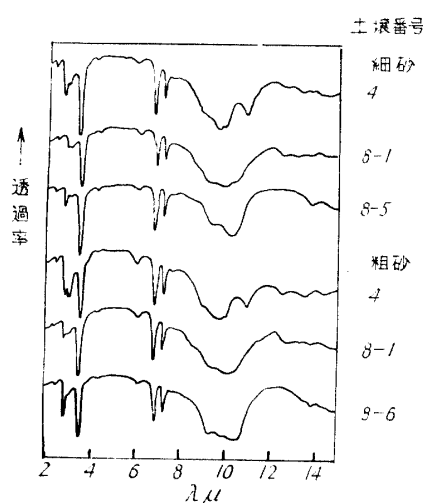
細砂中に多少とも粘土鉱物が含まれていることはすでに報告したが、マグネシウム還元法のような比較的

第3表 細砂の鉱物組成の特徴

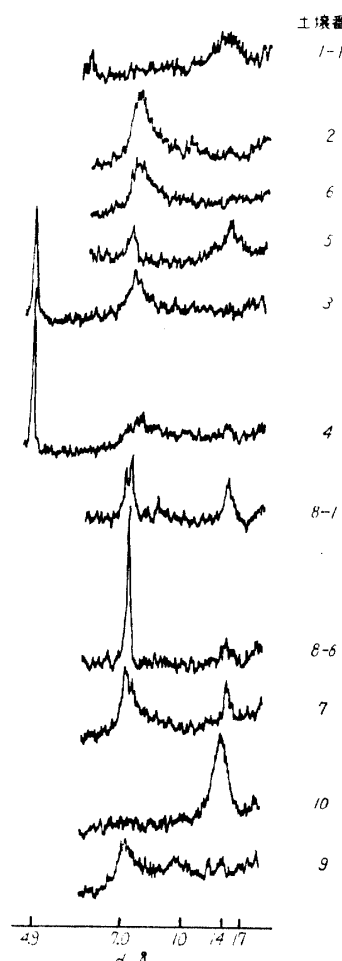
試料番号	岩石顕微鏡による観察同定	X線および示差熱分析による同定
1-1	植物起源のオパール、粘土塊、クロライト群、紫ソ輝石を主成分	モンモリナイト、を 14\AA 主成分
-2	粘土塊、クロライト群、紫ソ輝石を主成分	モンモリナイトを主成分とし少量の 14\AA を含む
2	粘土塊を主成分	ハロイサイトを主成分
3	粘土塊を主成分	ハロイサイト、ギブサイトを主成分
4	粘土塊を主成分	ハロイサイト、 14\AA ギブサイトを主成分
5	クロライト化した輝石、長石類、植物起源オパールを主成分	少量のクロライトを含む
6	風化を受けた長石類を主成分	少量のハロイサイトを含む
7	植物起源のオパール、クロライト群、斜長石を主成分	少量のハロイサイト、クロライトを含む
8-1	植物起源のオパール、蛇紋石を主成分	蛇紋石を主成分とし少量の 14\AA を含む
-2	蛇紋石、植物起源のオパールを主成分	蛇紋石を主成分
8-3～8-5	蛇紋石を主成分	蛇紋石を主成分
9	石英、加里長石、風化黒雲母、斜長石を主成分	少量のハロイサイト、イライト、ギブサイトを含む
10	屈折率1.53以下の等方性鉱物、長石類を主成分	?



第1図 細砂の示差熱曲線



第2図 砂の赤外線吸収スペクトル

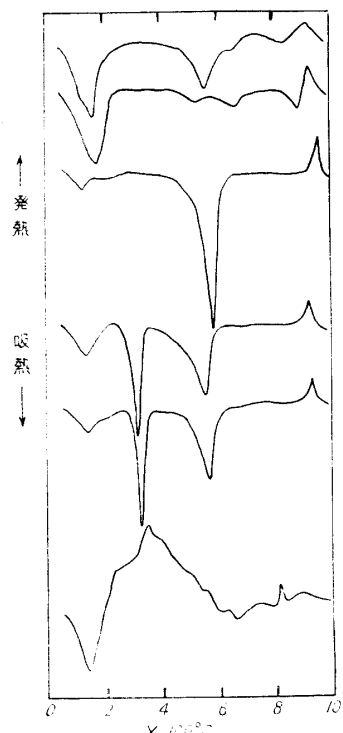
第3図 粘土のX線回析図
(H-粘土)

強力な結合物質除去法を用いてもなおかつ細砂中に粘土鉱物が含まれている。このことは母材を構成する鉱

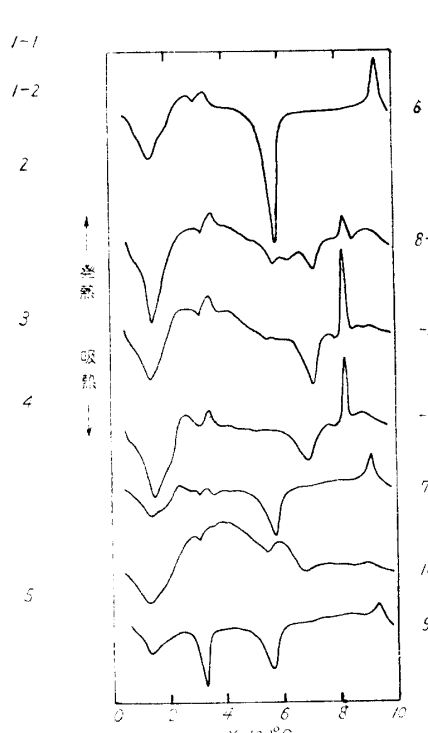
物粒子の風化に際して、粘土鉱物の生成が一次鉱物の構成元素へ完全に分解した後、再合成され結晶生長を

行なうという考え方より、一次鉱物粒子の表面での構造変化を伴う再合成が行なわれたものと考えることの妥当性を示すものであろう。

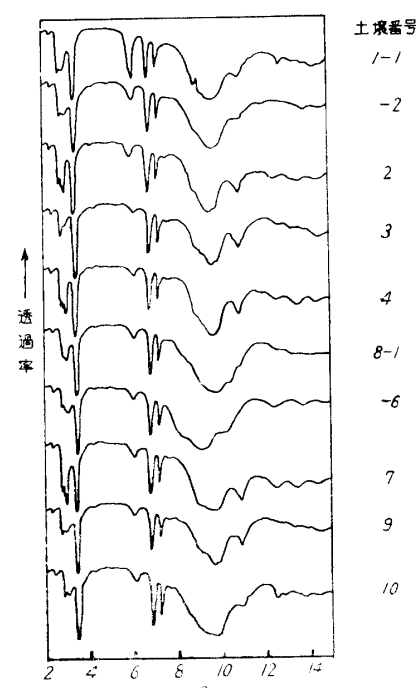
b. 粘土の鉱物組成：粘土部分のX線回析図、示差熱曲線、赤外線吸収スペクトルの代表例を第4、5図に示す。また2,3の試料については各種処理を行なつ



第4図a 粘土の示差熱曲線
(H-粘土)



第4図b 粘土の示差熱曲線
(H-粘土)



第5図 粘土の赤外線吸収スペクトル (H-粘土)

第4表 粘土の鉱物組成の特徴

試料番号	主成分鉱物	副成分鉱物	随伴鉱物
1-1	モンモリナイト, 14Å鉱物 (Al-バーミキュライト)		
-2	モンモリロナイト	14Å鉱物 (Al-バーミキュライト)	
2	ハロイアイト	14Å鉱物 (Al-バーミキュライト)	
3	ハロイサイト	ギブサイト	
4	ハロイサイト, ギブサイト		
5	14Å鉱物 (クロライト?)		
6	ハロイサイト		
7	ハロイサイト		14Å鉱物 (クロライト?)
8-1	ハロイサイト, 14Å鉱物 (クロライト?)	蛇紋石	
-2	蛇紋石	14Å鉱物 (クロライト?)	ハロイサイト
8-3~8-5	蛇紋石	14Å鉱物 (クロライト?)	
8-6	蛇紋石	イライト, ギブサイト	
9	ハロイサイト		14Å鉱物 (Al-バーミュライト)
10	モンモリロナイト		

た後X線回析図を得ている。これらの結果から推定される粘土部分の鉱物組成の特徴を第4表に示す。

安山岩土壤(土壤1-1, 1-2)の粘土はグリセロール処理で17Åに膨張し、K-飽和の風乾試料で12Åに取縮するモンモリロナイトを主成分とし、表層ではか

なりな量の、下層ではグリセロール処理あるいはK-飽和でbasal diffractionに変化のない14Å鉱物を少量含むものと思われる。この14Å鉱物はN-塩化カリ-0.1N塩酸処理で12Åに回析線を認めることから、モンモリナイトの層間にギブサイト層をはさんだ

ものと考えられる。粘土中の鉱物は細砂中のものとほぼ同じであるが、粘土では細砂にくらべて 14\AA 鉱物の多くなっていることが示差熱曲線の 700° 付近の吸熱ピークの弱化と $500\sim600^\circ$ の吸熱ピークの強化にみることが出来る。

玄武岩土壤（土壤2,3）の粘土はハロイサイトを主成分としている。土壤3においてはギブサイトもかなりな量同定された。これを細砂中の鉱物組成と比較すると土壤2ではハロイサイト含量が、土壤3においてはギブサイト含量が粘土において高いようである。

蛇紋岩土壤では丹後地方の土壤4の粘土はハロイサイトとギブサイトで構成されているが、三河地方の土壤の表層（土壤8-1,8-2）でクロライト、少量のハロイサイトおよびかなりな量の蛇紋石が同定された。下層（土壤8-3～8-5）は母材（土壤8-6）とほとんど同じく蛇紋石のみより粘土は構成されている。

斑レイ岩土壤においては丹後地方の土壤5の粘土はおもに 14\AA 鉱物（グリセロール処理、N塩化カリウム0.1N 塩酸処理で回析線に変化のことよりみて多分クロライトであろう）であるのに反し、三河地方の土壤7の粘土は 14\AA 鉱物とハロイサイトを含んでいた。

凝灰岩土壤（土壤6）の粘土はハロイサイトを主成分とする。

花コウ岩土壤（土壤9）の粘土はハロイサイトを主成分とし黒雲母に由来すると考えられる 14\AA 鉱物を含む。

流モン岩土壤（土壤10）の粘土はグリセロール処理で 17\AA に回析線の移行するモンモリロナイトを主成分とするようであるが、くわしい検討は今後の研究にまちたい。しかしこの土壤のように酸性の比較的強い条件下でもモンモリロナトの同定されることは興味ある問題を投げかけている。

粘土の鉱物組成は細砂中のものと鉱物種間に差異はないが、量的には変化がみられる。いずれの土壤においても細砂よりは粘土の方が常に風化の進んだ状態にあることは明らかである。

ここに試料とした土壤にはさきにも述べたように、土壤年齢の若い土壤化の進んでいないと思われるものも含まれているが、それらの土壤の粘土は Jackson ら⁵⁾ のいう風化序列の中間に相当する粘土鉱物が主成分となり、風化の進んだ土壤では風化序列の末期に相当する粘土鉱物を主成分としている。このことは丹後地方の褐色森林土地帶においても、三河地方の黄赤色土地帶においても土壤化に伴う最終風化産物はハロイサイト、ギブサイトであることを示し、両土壤化作用に伴う粘土の風化生成作用には大きな相異のないこと

を示すものといえよう。それゆえ両地方の同一母材の土壤については同一傾向の風化過程をたどるものと思われる。このような観点より、斑レイ岩土壤と蛇紋岩土壤の風化過程を考察する。

c. 斑レイ岩の風化：斑レイ岩は60%前後の曹灰長石と35%前後の輝石、カンラン石などの鉄苦土鉱物からなる塩基性岩であるが、斑レイ岩土壤の砂部分に風化の進んでいない丹後地方では相当量の斜長石、輝石（屈折率、干涉色、消光角などよりみてクロライト化したものをかなり認めめる）が主成分をなし、一方風化の進んだ三河地方のものでは前者にくらべ斜長石含量を減じ、輝石（クロライト化したものが多い）含量を増加している。粘土部分では風化の進んでいないものではクロライトが優越し、風化の進んだものではハロイサイト含量が高まっている。これらのこととは青峰らの異剥石の風化過程の研究とともに斑レイ岩の風化はその初期にまず輝石のクロライト化が起こり次いでクロライトの細粒化が進行する。風化の進行につれて斜長石のハロイサイト化が行なわれるものと思われる。

d. 蛇紋岩の風化：蛇紋岩は蛇紋石よりなりそれは 7\AA に basal diffraction をもつ Trioctahedral 型の 1 : 1 鉱物である。風化の進んでいない三河地方の土壤では下層の砂および粘土は母材の粉末と全く同じ X 線回析図、示差熱曲線、赤外線吸収スペクトルをあたえるが、表層の砂および粘土は母材とはやや異なる鉱物を生成している。X 線回析図における 14\AA 回析線の強化、発現、示差曲線における 500° 付近の吸熱ピークの発現や 750° の吸熱ピーク、 800° 付近の発熱ピークの弱化が起っている。これらの結果は蛇紋石の風化がまず 14\AA 鉱物の生成に始まることを示している。一方風化の進んだ丹後地方の土壤では砂、粘土ともにハロサイトとギブサイトで構成されている。しかし粘土のX線回析図には微弱ではあるが、三河地方の表層土の粘土のそれと類似の回析線も認められる。これらの結果は蛇紋岩の風化が basal diffraction として 7\AA に回析線を示す Trioctahedral 型の 1 : 1 鉱物が Trioctahedral 型 2 : 2 鉱物にまず変化し、ついで土壤の酸性化に伴うアルミニウムイオンの活性化により Dioctahedral 型 2 : 2 鉱物ないしは 1 : 1 鉱物へ変化することを予測させる。

試料は京都大学農学部川口教授によつて採取されたもので、本研究に試料を供与下され、発表を許可されたことに対し厚く謝意を呈します。また赤外線吸収スペクトルの測定は京都大学農学部農薬化学研究室の労をわざらはした。ここに厚く感謝の意を表わします。

文 献

- 1) 服部共生・山口桂三郎：京大食研報告 22号 40 (1959)
- 2) 川口桂三郎・服部共生・久馬一剛：未発表
- 3) 菅野一郎：土肥誌 20 12 (1949)

- 4) 近藤鳴雄・岩佐安：土肥誌 31 91 (1960)
- 5) Jackson, M. L. and Sherman, G. D. : Advance in Agronomy V 219 (1953)
- 6) Aomine, S. and Miyauchi, Y. : Soil Sci and Plant Nutrition 8 183 (1962)

Summary

The mineralogical studies of the forest soils in Tango of Kyoto Prefecture and in Mikawa of Aichi Prefecture, which are developed on the various rocks under the climatic conditions of the formation of brown forest soil and red yellow soil, were performed. The petrographic methods were applied for the studies of sand fractions and the X-ray diffraction procedure, the differential thermal analysis and the other methods for sand and clay fractions. The results were summarized as follows.

The sand fractions were containing the considerable amount of clay minerals in Tango soils, but the small amount in Mikawa soils except in

the serpentine soil. The species of clay minerals in sand fractions were resemble to the ones in clay fractions.

The various clay mineral species were detected in the clay fractions due to the variations of parent material and the differences of soil age. But it was considered that there were no marked differences on the processes of clay formation occurred during the forming processes of brown forest soil in Tango and red yellow soil in Mikawa, and the most stable weathering products were halloysite and gibbsite under present climatic conditions.